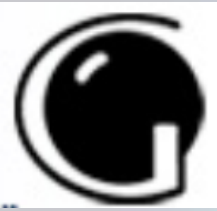


# Эксперимент АТЛАС

## Физические результаты

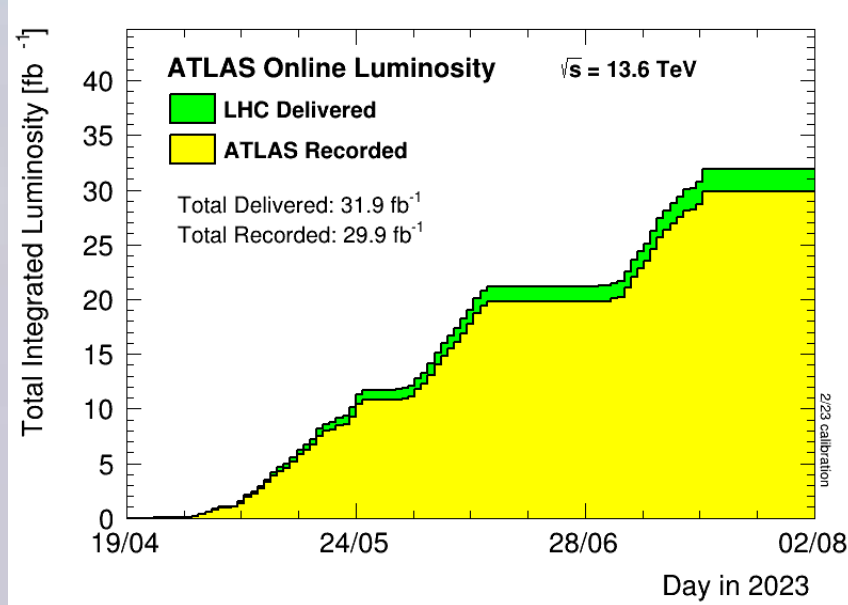
Ю.Г. Нарышкин

Научная сессия ОФВЭ ПИЯФ, 27.12.2023

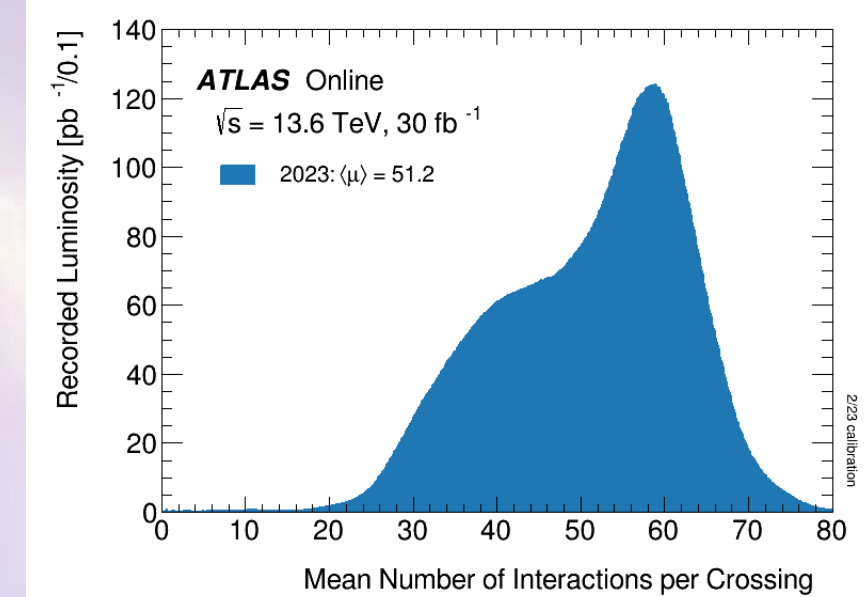


# ATLAS operations in 2023

Luminosity 2023



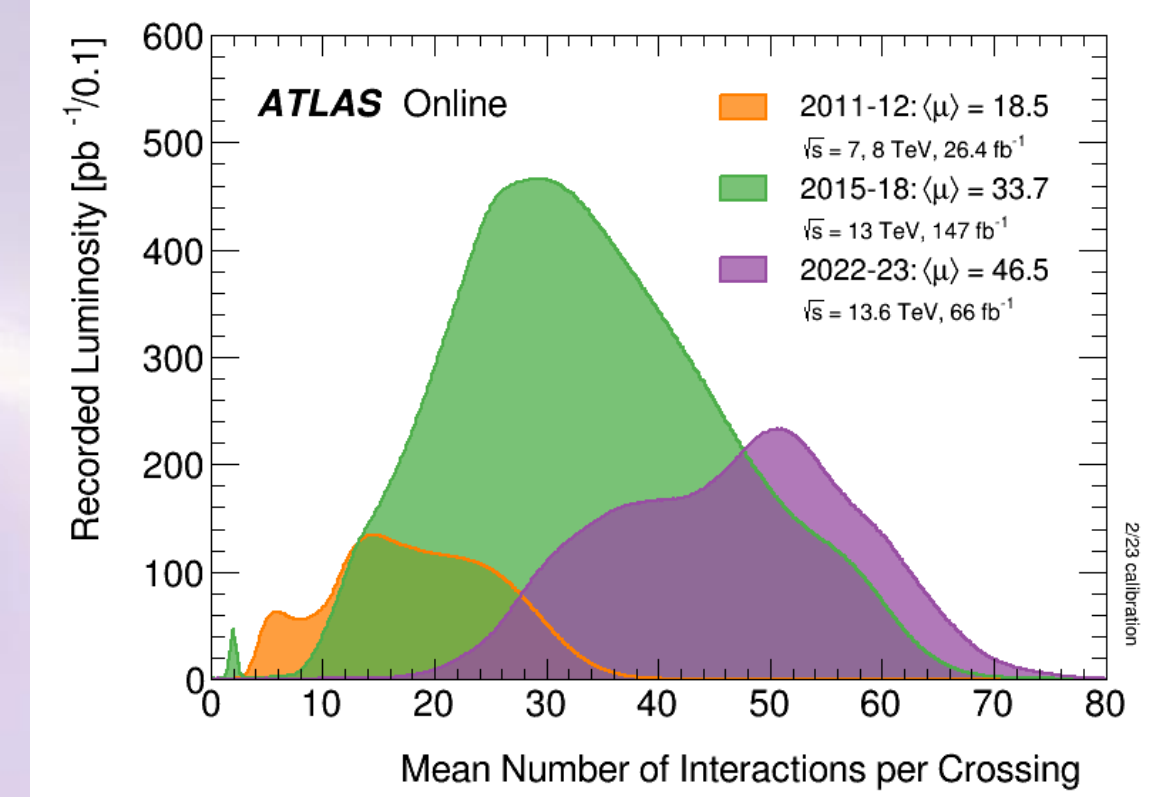
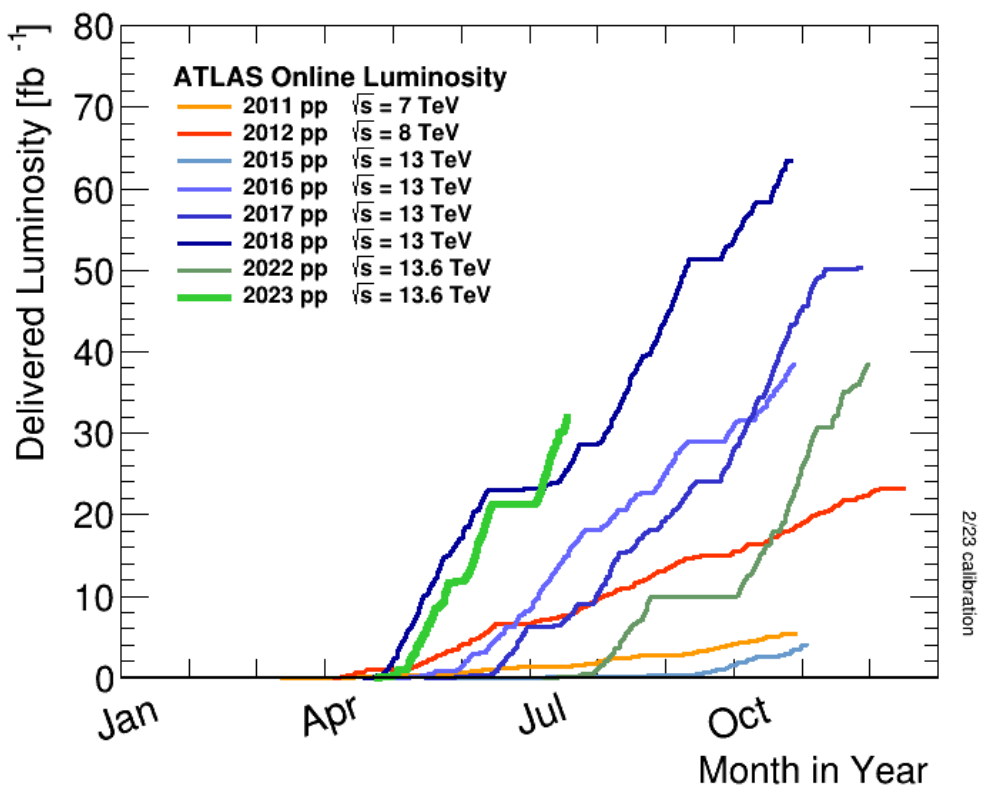
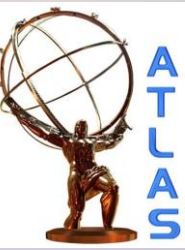
pileup 2023



- 2023 data recorded by ATLAS:
- pp 13.6TeV :  $29.9 \text{ fb}^{-1}$ , pp high beta\* run at 13.6 TeV :  $\sim 0.3 \text{ nb}^{-1}$
- PbPb 5.36 TeV :  $1.75 \text{ nb}^{-1}$



# ATLAS operations Run 3



- ~52  $\text{fb}^{-1}$  of data recorded by ATLAS in Run 3 (2022+2023): 93(94)% data taking efficiency in 2022(2023)
- Great muon, electron, photon, jet reconstruction performance with Run 3 data
- Good luminosity calibration with  $31.4 \pm 0.7 \text{ fb}^{-1}$  with 2.2% uncertainty



# Физическая программа эксперимента АТЛАС.



## Основные направления исследований:

- Стандартная модель
- Свойства Бозона Хиггса
- Физика топ кварка
- Физика  $b$ -кварка
- Физика тяжелых ионов
- Экзотика: темная материя, дополнительные измерения, квантовые черные дыры и т.д.



# First results of Run 3 data (13.6 TeV)

$ZZ \rightarrow 4l$  cross section arXiv:2311.09715

$H \rightarrow \gamma\gamma$ ,  $H \rightarrow ZZ^* \rightarrow 4l$  cross sections arXiv: 2306:11379

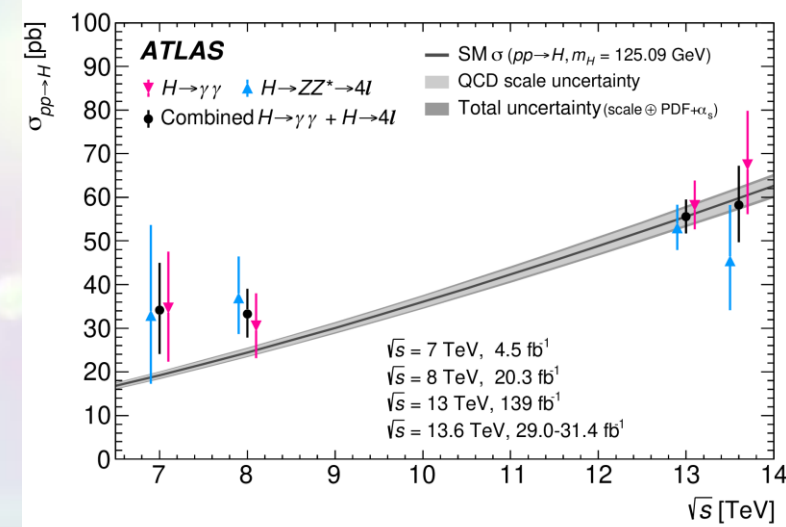
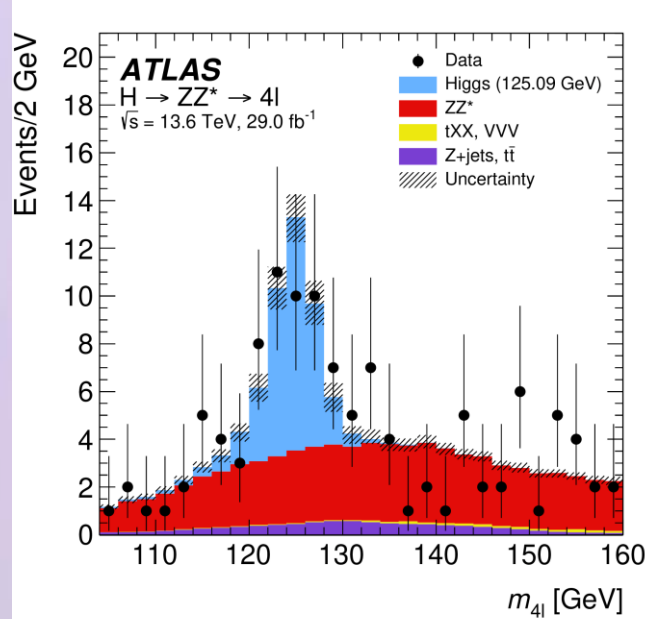
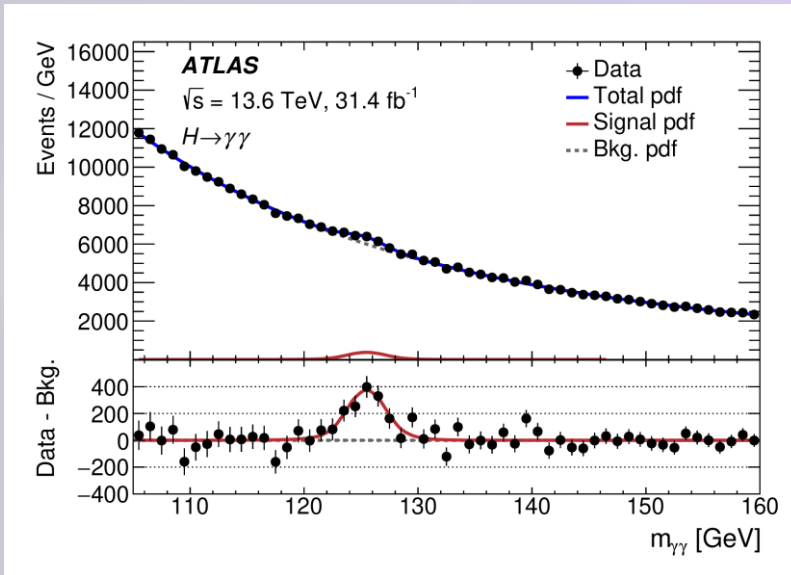
$t\bar{t}$  cross section Phys. Let. B 848 (2024) 138376

$t\bar{t}/Z$  cross sections ratio: Phys. Let. B 848 (2024) 138376

Combination of  $H \rightarrow \gamma\gamma$ ,  $H \rightarrow ZZ^* \rightarrow 4l$

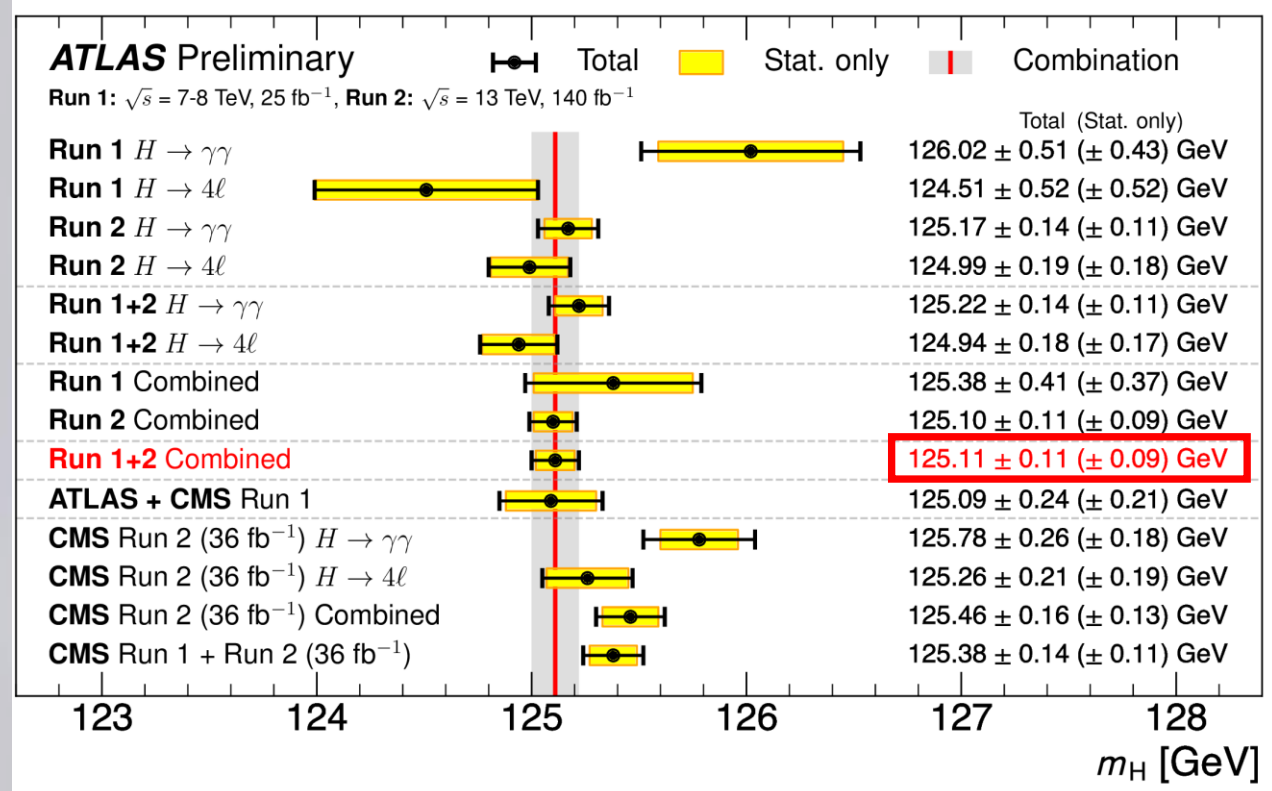
$$\sigma_{(pp \rightarrow H)} = 58.2 \pm 7.5(\text{stat.}) \pm 4.5(\text{syst.}) \text{ pb}$$

Compatible with SM  $59.9 \pm 2.6 \text{ pb}$





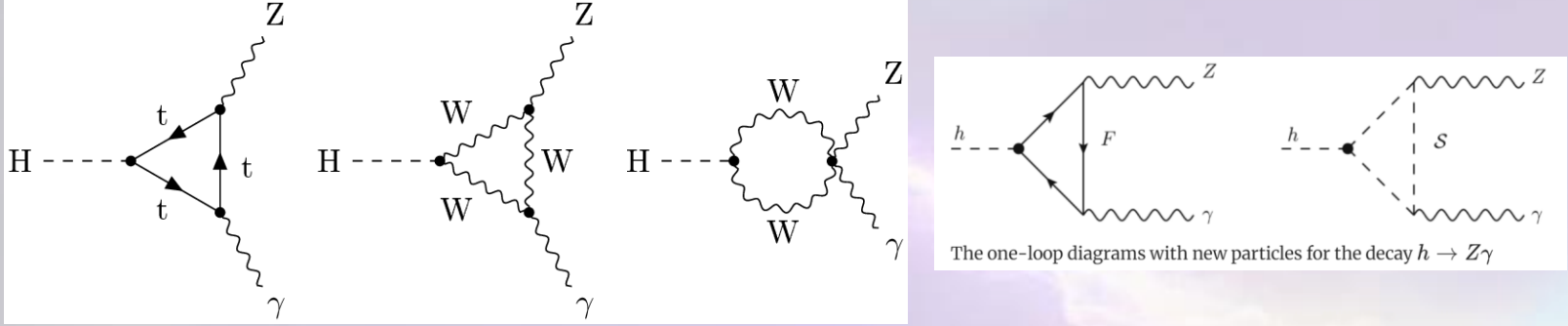
# Precise measurement of the Higgs mass



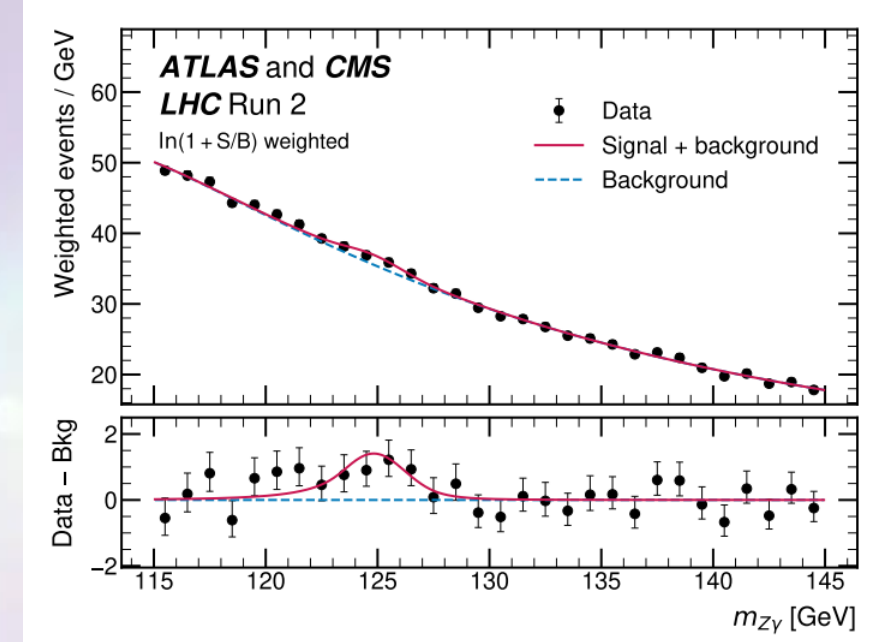
- Based on full Run 1  $\sqrt{s}=7,8$  (25  $\text{fb}^{-1}$ ) and Run 2  $\sqrt{s}=13$  TeV (140  $\text{fb}^{-1}$ ) data
- $H \rightarrow ZZ \rightarrow (4\mu, 2e2\mu, 2\mu2e, 4e)$  and  $H \rightarrow \gamma\gamma$  channels combined
- The most precise measured value at the moment:  
 $m_H = 125.11 \pm 0.11 \text{ GeV}$



# First evidence for Higgs boson decay into two different bosons $H \rightarrow Z\gamma$ (ATLAS+CMS)



- In the SM, the  $H \rightarrow Z\gamma$  branching fraction is  $(1.5 \pm 0.1) \times 10^{-3}$
- $H \rightarrow Z\gamma$  sensitive to modifications in several BSM scenarios (e.g. MSSM charginos, sleptons, squarks), Eur. Phys. J. C (2022) 82:977
- pp collision data  $\sqrt{s} = 13$  TeV by the ATLAS and CMS with integrated luminosities of  $139 \text{ fb}^{-1}$  and  $138 \text{ fb}^{-1}$  respectively
- Observed significance is  $3.4\sigma$
- The measured  $H \rightarrow Z\gamma$  branching fraction is  $(3.4 \pm 1.1) \times 10^{-3}$
- The observed signal yield is  $2.2 \pm 0.7$  times the SM prediction
- Agrees with the SM prediction within  $1.9\sigma$



	Obs.(Exp.)	Signal strength $\mu$
ATLAS	$2.2\sigma$ ( $1.2\sigma$ )	$2.0^{+1.0}_{-0.9}$
CMS	$2.6\sigma$ ( $1.1\sigma$ )	$2.4^{+1.0}_{-0.9}$
comb.	$3.4\sigma$ ( $1.6\sigma$ )	$2.2 \pm 0.7$



# Top quark mass measurement ATLAS+CMS

ATLAS+CMS Preliminary  
LHCtopWG

..... LHC combined  
..... stat uncertainty  
..... total uncertainty

## ATLAS

dilepton 7 TeV  
lepton+jets 7 TeV  
all-jets 7 TeV  
dilepton 8 TeV  
lepton+jets 8 TeV  
all-jets 8 TeV  
combined

## CMS

dilepton 7 TeV  
lepton+jets 7 TeV  
all-jets 7 TeV  
dilepton 8 TeV  
lepton+jets 8 TeV  
all-jets 8 TeV  
single top 8 TeV  
 $J/\psi$  8 TeV  
secondary vertex 8 TeV  
combined

## LHC combination

dilepton  
lepton+jets  
all-jets  
other  
combined

165 170 175 180 185  
 $m_t$  [GeV]

$\sqrt{s}=7,8$  TeV

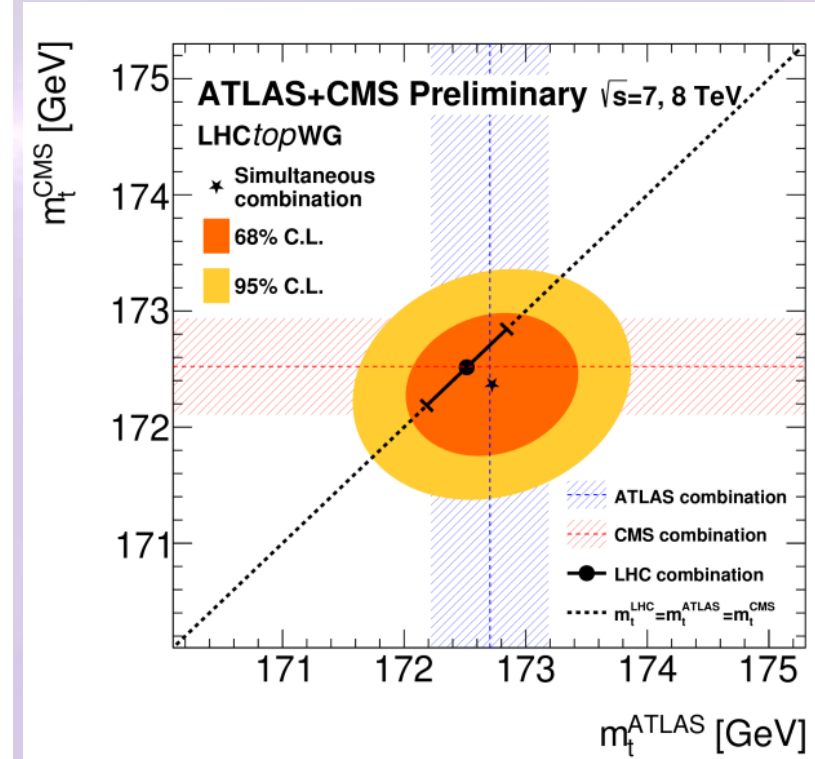
total  
stat

$m_t \pm$  total ( $\pm$  stat  $\pm$  syst)

173.79  $\pm$  1.42 ( $\pm$  0.54  $\pm$  1.31)  
172.33  $\pm$  1.28 ( $\pm$  0.75  $\pm$  1.04)  
175.06  $\pm$  1.82 ( $\pm$  1.35  $\pm$  1.21)  
172.99  $\pm$  0.84 ( $\pm$  0.41  $\pm$  0.74)  
172.08  $\pm$  0.91 ( $\pm$  0.39  $\pm$  0.82)  
173.72  $\pm$  1.15 ( $\pm$  0.55  $\pm$  1.02)  
172.71  $\pm$  0.48 ( $\pm$  0.25  $\pm$  0.41)

172.50  $\pm$  1.58 ( $\pm$  0.43  $\pm$  1.52)  
173.49  $\pm$  1.06 ( $\pm$  0.43  $\pm$  0.97)  
173.49  $\pm$  1.41 ( $\pm$  0.69  $\pm$  1.23)  
172.22  $\pm$  0.95 ( $\pm$  0.18  $\pm$  0.94)  
172.35  $\pm$  0.48 ( $\pm$  0.16  $\pm$  0.45)  
172.32  $\pm$  0.62 ( $\pm$  0.25  $\pm$  0.57)  
172.95  $\pm$  1.20 ( $\pm$  0.77  $\pm$  0.93)  
173.50  $\pm$  3.14 ( $\pm$  3.00  $\pm$  0.94)  
173.68  $\pm$  1.12 ( $\pm$  0.20  $\pm$  1.11)  
172.52  $\pm$  0.42 ( $\pm$  0.14  $\pm$  0.39)

172.30  $\pm$  0.59 ( $\pm$  0.29  $\pm$  0.51)  
172.45  $\pm$  0.36 ( $\pm$  0.17  $\pm$  0.32)  
172.60  $\pm$  0.45 ( $\pm$  0.26  $\pm$  0.36)  
173.53  $\pm$  0.77 ( $\pm$  0.43  $\pm$  0.64)  
172.52  $\pm$  0.33 ( $\pm$  0.14  $\pm$  0.30)



- ATLAS+CMS Run 1 data  $\sqrt{s} = 7,8$  TeV (5 and 20  $\text{fb}^{-1}$ )
- Combination of fifteen top quark mass measurements by ATLAS and CMS (Run1)
- Most precise top mass measurement to date thanks to the combination

ATLAS-CONF-2023-066

CMS-PAS-TOP-22-001

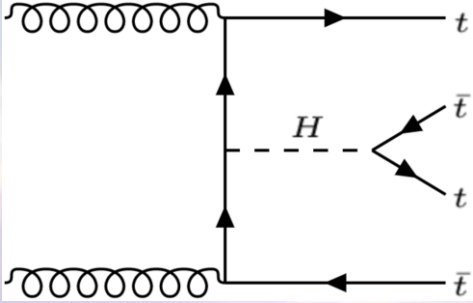
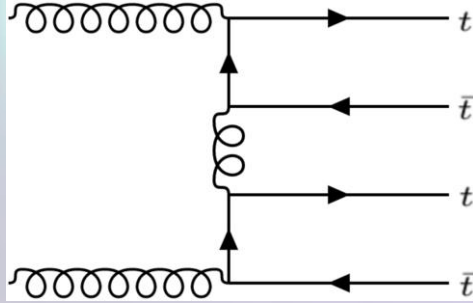
CERN-LPCC-2023-02

$m_t = 172.52 \pm 0.14 \text{ (stat.)} \pm 0.30 \text{ (syst.) GeV, total uncertainty } 0.33 \text{ GeV}$

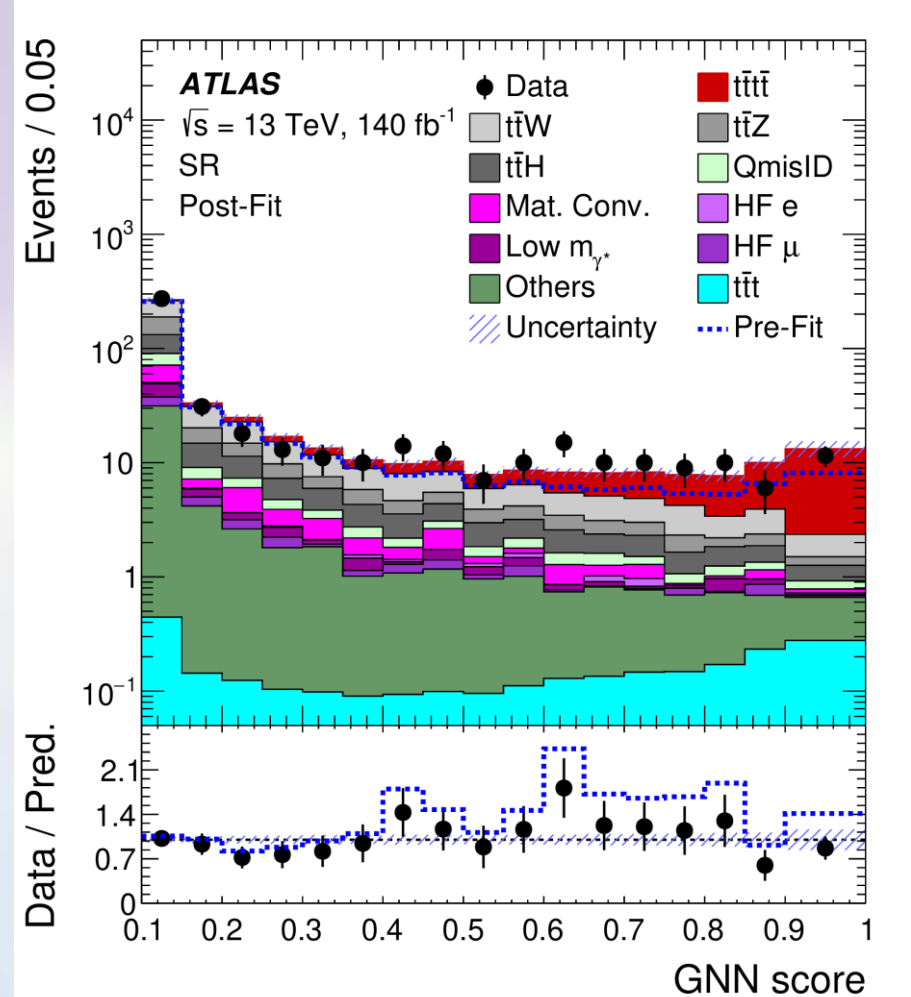


# 4-tops production

SM



- The  $t\bar{t}t\bar{t}$  cross section could be enhanced in many BSM models, including gluino pair production in supersymmetric theories, scalar-gluon pair production, the associated production of a heavy scalar or pseudoscalar boson with a top-quark pair in two-Higgs-doublet models
- Full Run 2 data @  $\sqrt{s} = 13 \text{ TeV}$   $140 \text{ fb}^{-1}$
- Events with two leptons with the same electric charge or at least three leptons (electrons or muons)
- $6.1 (4.3)\sigma$  observed (expected) significance
- Measured cross section  $22.5^{+6.6}_{-5.5} \text{ fb}$ , compatible with SM prediction  $12.0 \pm 2.4 \text{ fb}$  within  $1.8\sigma$

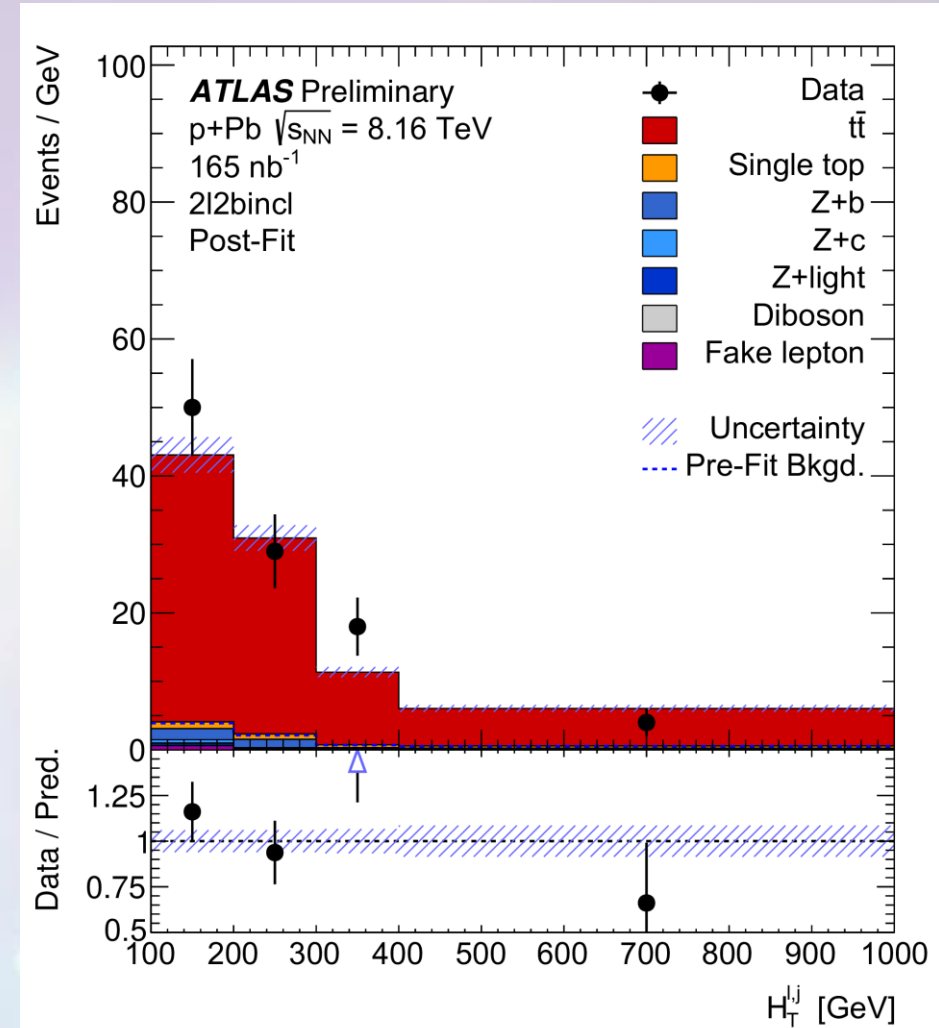
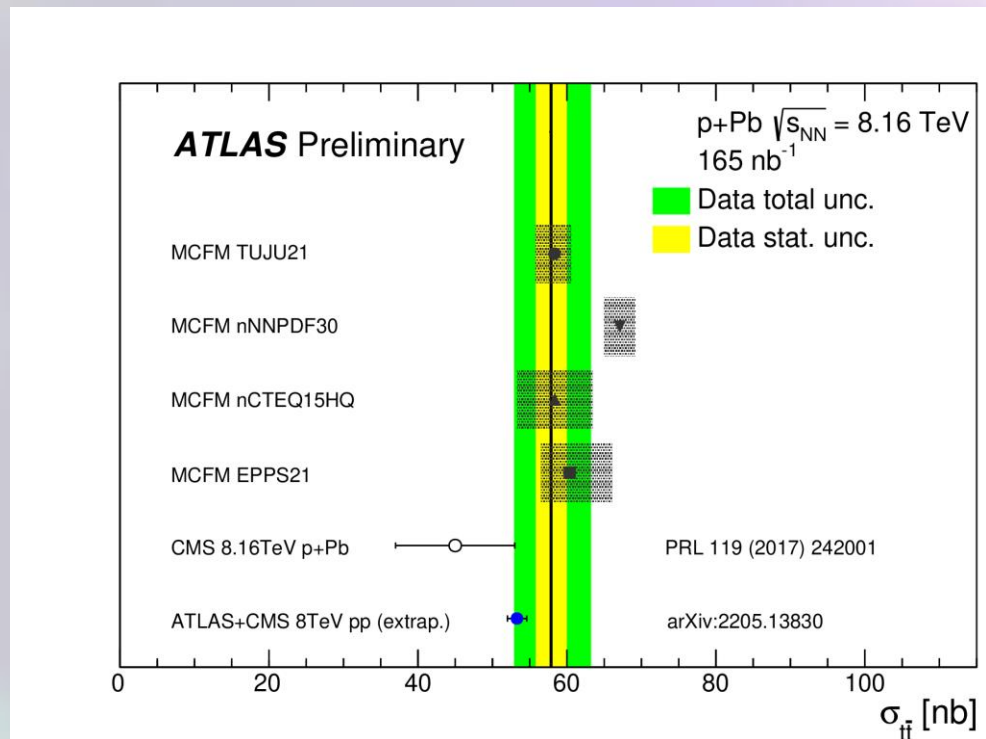




# Observation of top-pair Production in p-Pb

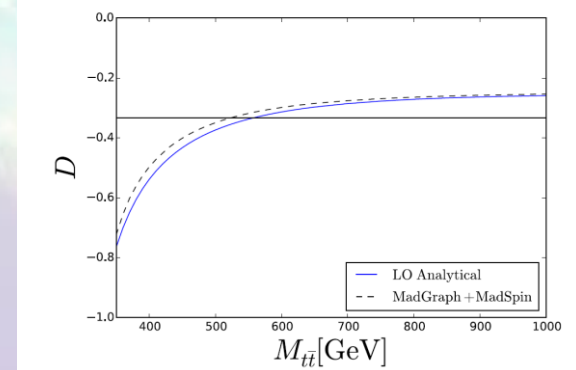
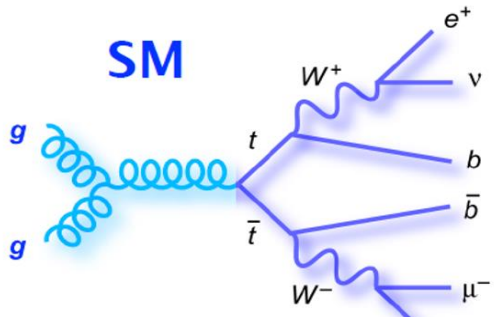


- top quarks provide novel probes of nuclear modifications to parton distribution functions (nPDF) (arXiv:1711.03105)
- Run 2 data (2016)  $\sqrt{s} = 8.16$  TeV, luminosity  $165 \text{ nb}^{-1}$
- lepton+jets and the dilepton channels
- significance over 5 standard deviations in both channels
- $\sigma_{t\bar{t}} = 57.9 \pm 2.0 \text{ (stat.)}^{+4.9}_{-4.5} \text{ (syst.) nb}$ , good agreement with SM



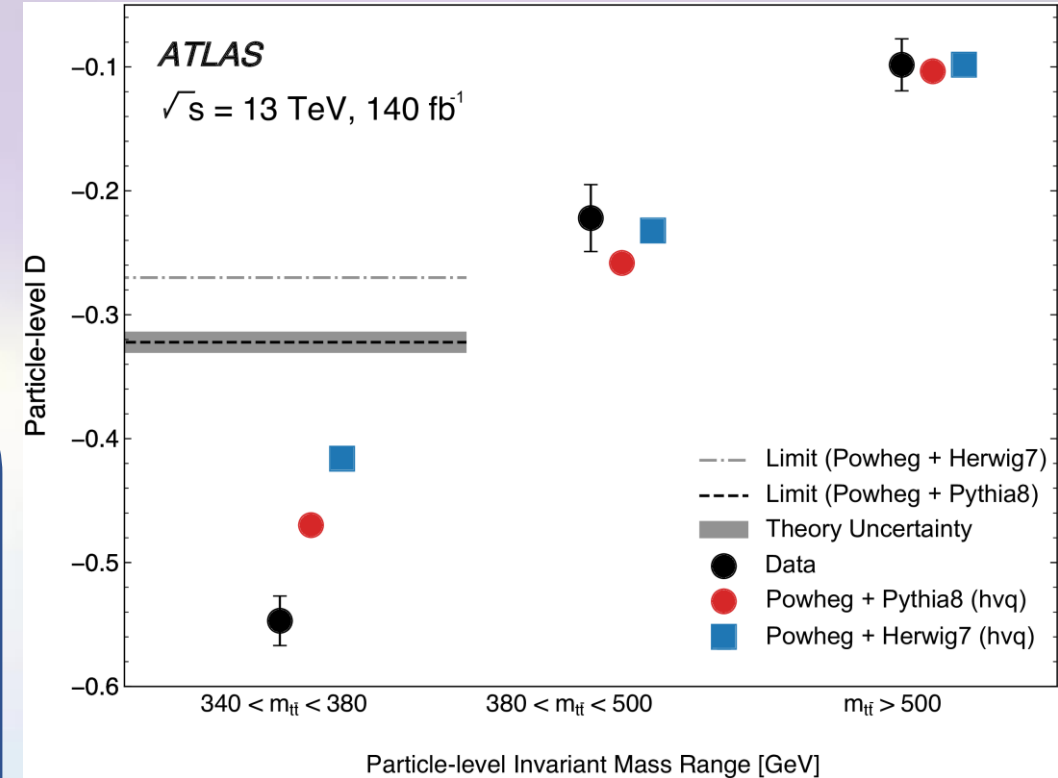


# Quantum Entanglement in $t\bar{t}$ system



- $\rho^{AB} \neq \sum_i p_i \rho_i^A \otimes \rho_i^B$  - система находится в "запутанном" состоянии, например синглетное состояние:  $|0, 0\rangle = \frac{1}{\sqrt{2}}(\uparrow\downarrow - \downarrow\uparrow)$
- Исследовались спиновые корреляции  $t\bar{t}$
- Для проверки запутанности использовался Критерий Переса-Городецкого
- Дилептонный канал распада ( $t \rightarrow W b \rightarrow l \nu b$ )
- $t\bar{t}$  – в синглетном состоянии в области  $340 < m_{t\bar{t}} < 380$  GeV
- $D = -0.547 \pm 0.002(систем.), отличие  $3.9\sigma$  и  $3.3\sigma$  от PY8 и PH7 генераторов.$

$$D = \frac{\text{tr}[C]}{3} < -\frac{1}{3}$$



arXiv:2311.07288  
Submitted to Nature



# Участие ПИЯФ В физической программе эксперимента АТЛАС



- **Физика топ квартонов**

- Измерение коэффициентов спиновой матрицы плотности в парном рождении  $t\bar{t}$
- Проверка квантовой запутанности в процессе парного рождения  $t\bar{t}$   
(Quantum Entanglement)

- **Физика за пределами Стандартной модели (BSM):**

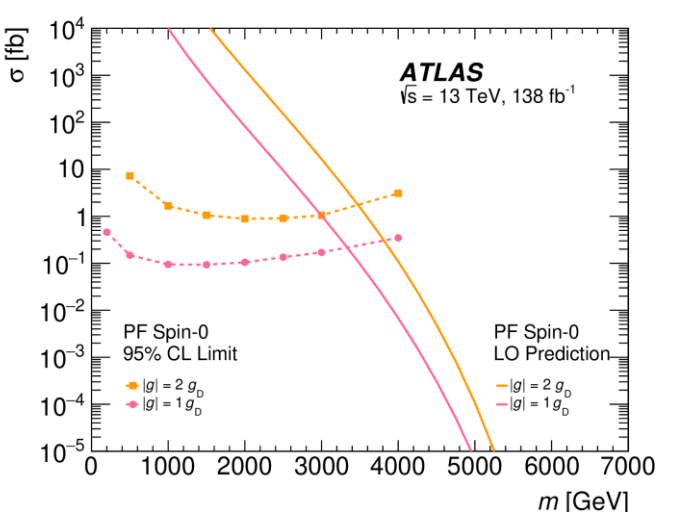
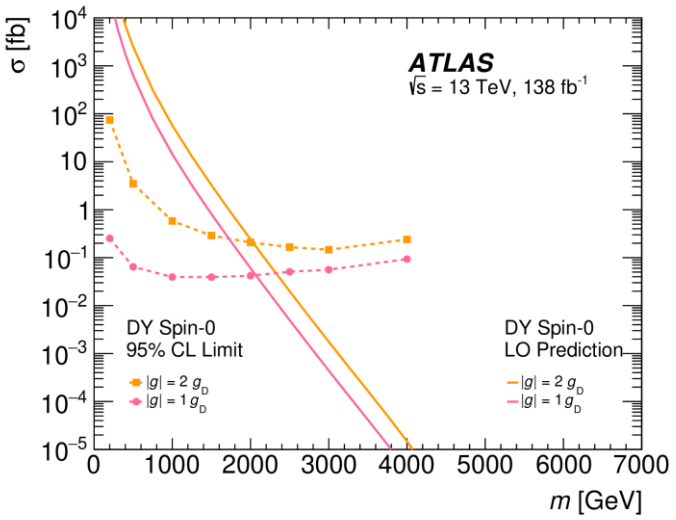
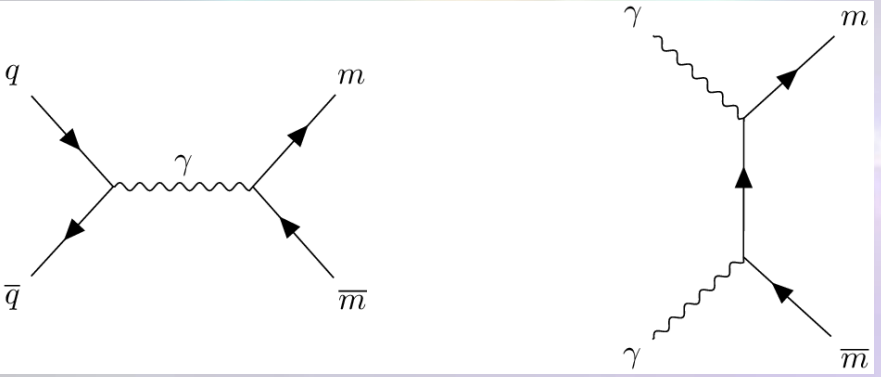
- поиски новых "невидимых" каналов распада бозона Хиггса СМ ("Higgs portal" model)
- поиски магнитных монополей (HIP)

Руководитель - О.Л. Федин

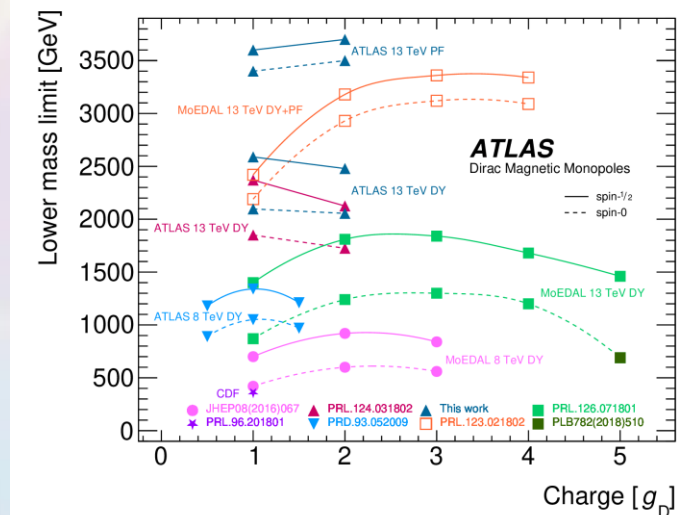
В.П. Малеев, С.Г. Барсов, Ю.Г. Нарышкин, В.А. Щегельский, А.Е. Ежилов,  
М.П. Левченко, Д. Пуджа, М.В. Покидова



# Search for magnetic monopoles



- Considering the Drell-Yan and photon-fusion pair production mechanisms as benchmark models
- many TRT HT hits in a region aligned with a narrow high-energy deposit in the LAr EM calorimeter.
- No HIPs candidate was observed.
- Spin -0 and spin  $\frac{1}{2}$  monopoles with magnetic charge  $1g_D$  and  $2g_D$  and high electric charge  $20 \leq |z| \leq 100$  for masses between 200 GeV and 4000 GeV
- The ATLAS monopole searches  $|\eta| < 1.75$  sensitive to  $1g_D$  and  $2g_D$  are complementary to those performed using the dedicated MoEDAL ( $2 < \eta < 5$ ) experiment at the LHC

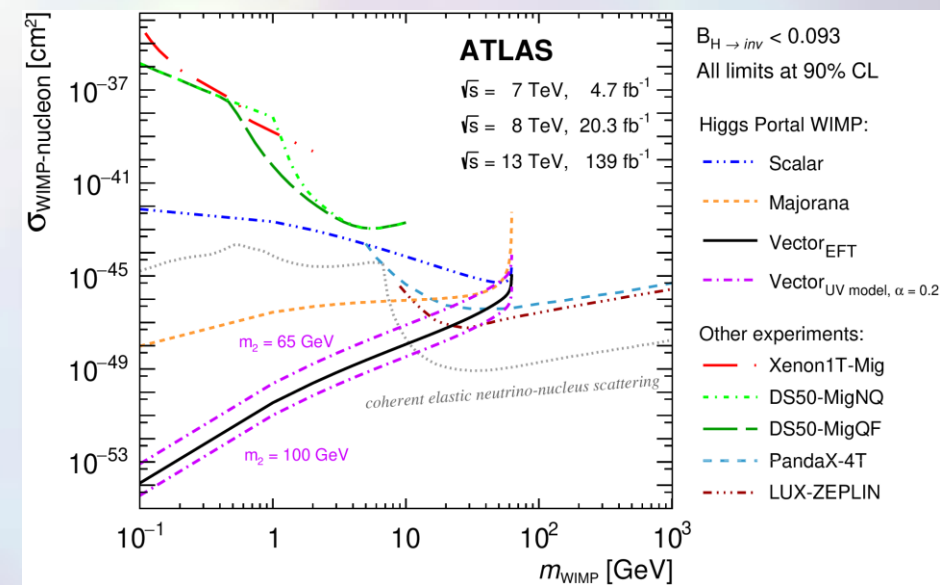
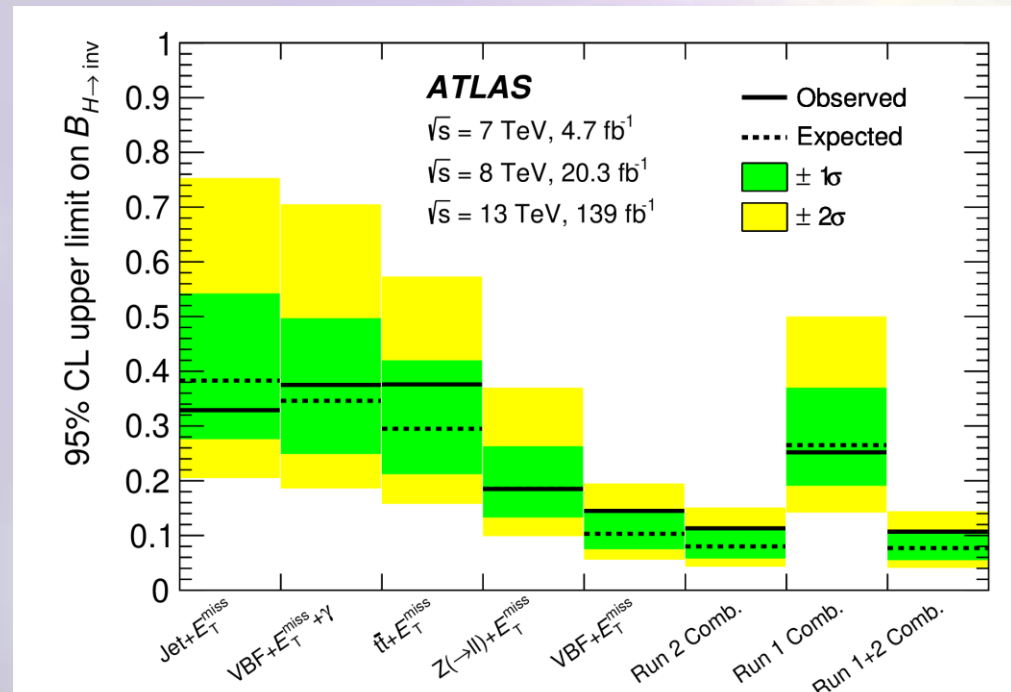




# H $\rightarrow$ inv combinations

- Higgs portal model: Higgs decay to Dark matter particles
- LHC Run 1 + Run 2 data, different channels combination
- H $\rightarrow$ invisible branching ratio of  $0.11(0.11^{+0.04}_{-0.03})$  full Run 2, limited number of channels

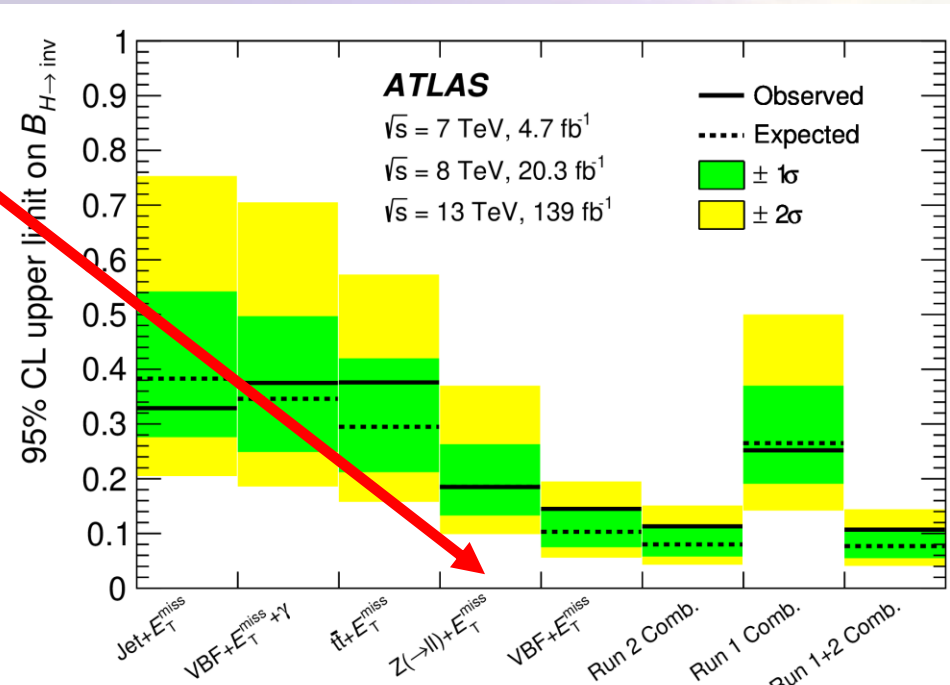
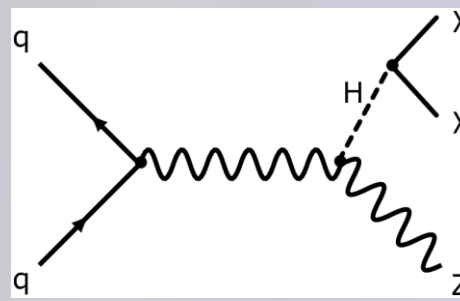
Analysis	Best fit $\mathcal{B}_{H \rightarrow \text{inv}}$	Observed 95% U.L.	Expected 95% U.L.
Jet +	$-0.09^{+0.19}_{-0.20}$	0.329	$0.383^{+0.157}_{-0.107}$
VBF + $\gamma$	$0.04^{+0.17}_{-0.15}$	0.375	$0.346^{+0.151}_{-0.097}$
$t\bar{t}$ +	$0.08 \pm 0.15$	0.376	$0.295^{+0.125}_{-0.083}$
$Z(\rightarrow \ell\ell) +$	$0.00 \pm 0.09$	0.185	$0.185^{+0.078}_{-0.052}$
VBF +	$0.05 \pm 0.05$	0.145	$0.103^{+0.041}_{-0.028}$
Run 2 Comb.	$0.04 \pm 0.04$	0.113	$0.080^{+0.031}_{-0.022}$
Run 1 Comb.	$-0.02^{+0.14}_{-0.13}$	0.252	$0.265^{+0.105}_{-0.074}$
Run 1+2 Comb.	$0.04 \pm 0.04$	0.107	$0.077^{+0.030}_{-0.022}$



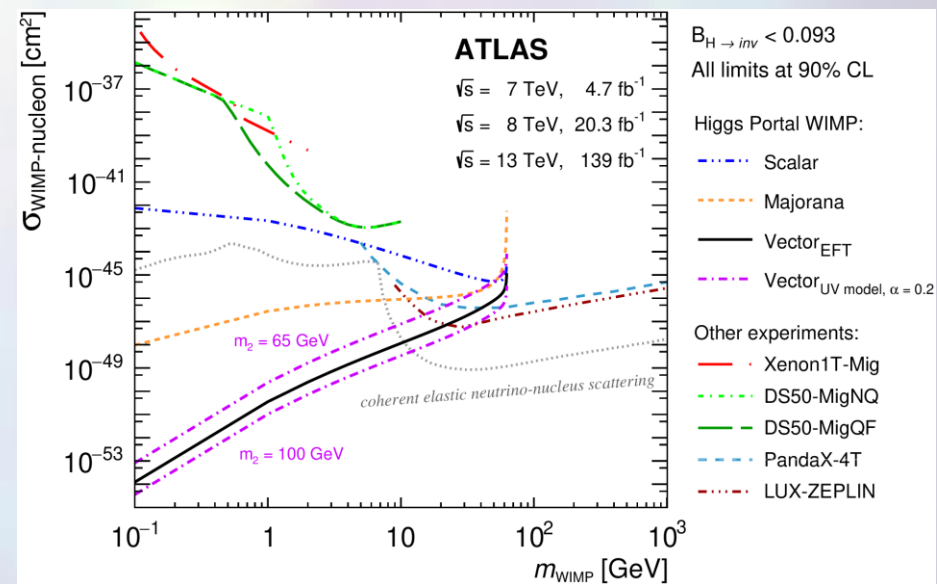


# H $\rightarrow$ inv combinations

- Higgs portal model: Higgs decay to Dark matter particles
- LHC Run 1 + Run 2 data, different channels combination
- H $\rightarrow$ invisible branching ratio of  $0.11(0.11^{+0.04}_{-0.03})$  full Run 2, limited number of channels



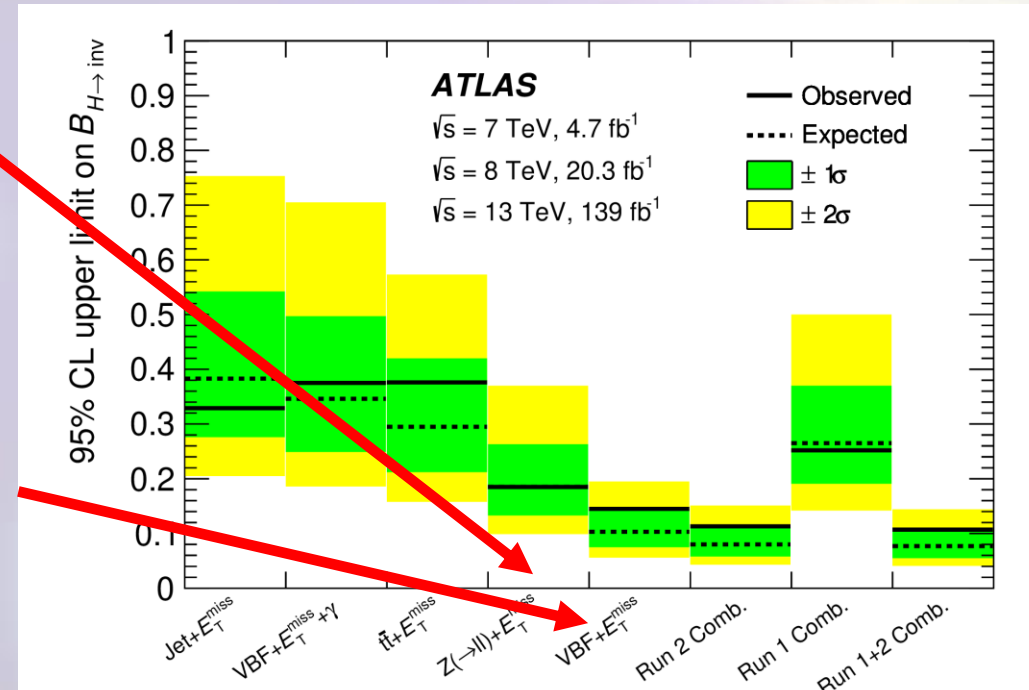
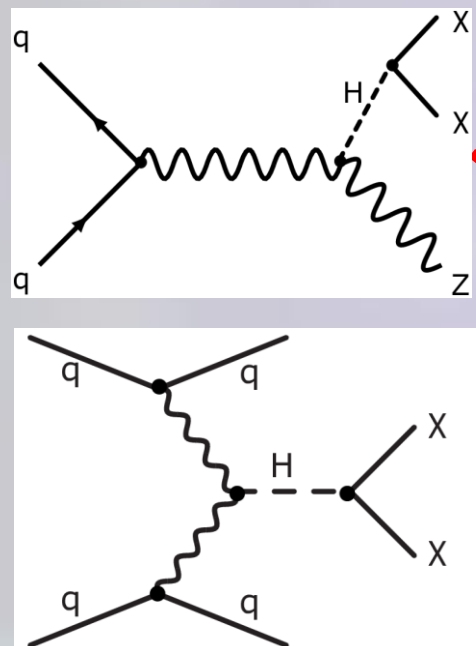
Analysis	Best fit $B_{H \rightarrow \text{inv}}$	Observed 95% U.L.	Expected 95% U.L.
Jet +	$-0.09^{+0.19}_{-0.20}$	0.329	$0.383^{+0.157}_{-0.107}$
VBF + $+ \gamma$	$0.04^{+0.17}_{-0.15}$	0.375	$0.346^{+0.151}_{-0.097}$
$t\bar{t}$ +	$0.08 \pm 0.15$	0.376	$0.295^{+0.125}_{-0.083}$
$Z(\rightarrow \ell\ell)$ +	$0.00 \pm 0.09$	0.185	$0.185^{+0.078}_{-0.052}$
VBF +	$0.05 \pm 0.05$	0.145	$0.103^{+0.041}_{-0.028}$
Run 2 Comb.	$0.04 \pm 0.04$	0.113	$0.080^{+0.031}_{-0.022}$
Run 1 Comb.	$-0.02^{+0.14}_{-0.13}$	0.252	$0.265^{+0.105}_{-0.074}$
Run 1+2 Comb.	$0.04 \pm 0.04$	0.107	$0.077^{+0.030}_{-0.022}$



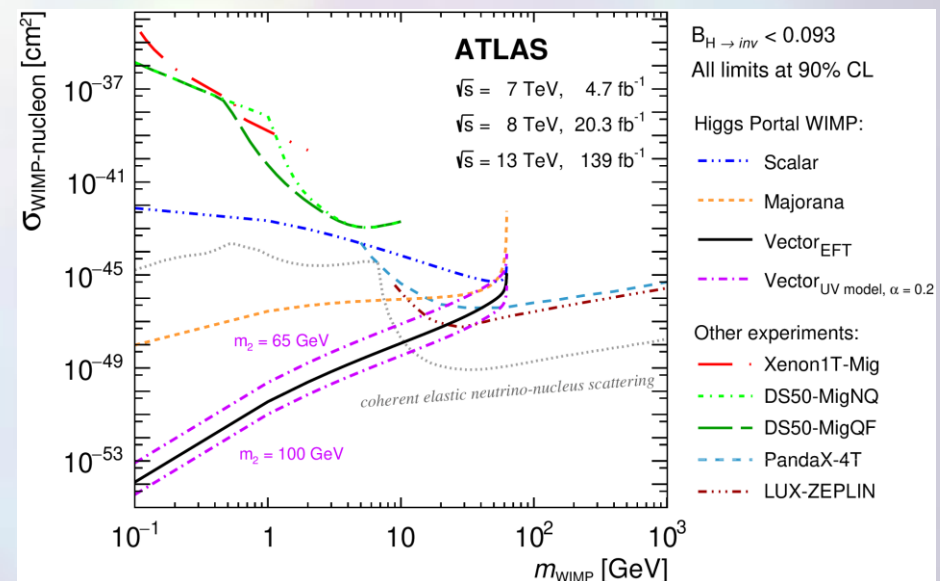


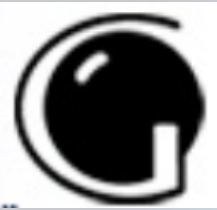
# H $\rightarrow$ inv combinations

- Higgs portal model: Higgs decay to Dark matter particles
- LHC Run 1 + Run 2 data, different channels combination
- H $\rightarrow$ invisible branching ratio of  $0.11(0.11^{+0.04}_{-0.03})$  full Run 2, limited number of channels

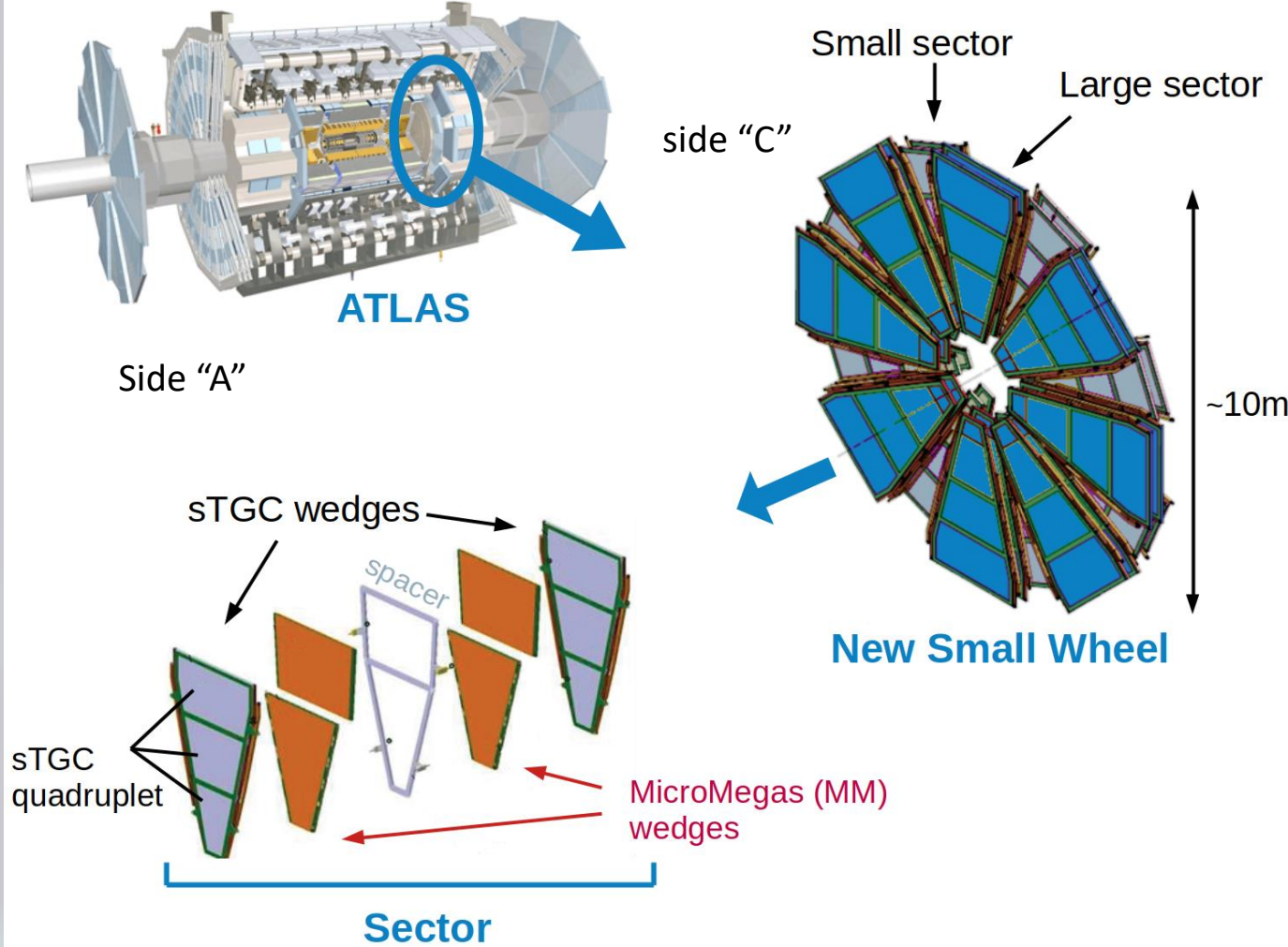


Analysis	Best fit $B_{H \rightarrow \text{inv}}$	Observed 95% U.L.	Expected 95% U.L.
Jet +	$-0.09^{+0.19}_{-0.20}$	0.329	$0.383^{+0.157}_{-0.107}$
VBF + + $\gamma$	$0.04^{+0.17}_{-0.15}$	0.375	$0.346^{+0.151}_{-0.097}$
$t\bar{t}$ +	$0.08 \pm 0.15$	0.376	$0.295^{+0.125}_{-0.083}$
$Z(\rightarrow \ell\ell)$ +	$0.00 \pm 0.09$	0.185	$0.185^{+0.078}_{-0.052}$
VBF +	$0.05 \pm 0.05$	0.145	$0.103^{+0.041}_{-0.028}$
Run 2 Comb.	$0.04 \pm 0.04$	0.113	$0.080^{+0.031}_{-0.022}$
Run 1 Comb.	$-0.02^{+0.14}_{-0.13}$	0.252	$0.265^{+0.105}_{-0.074}$
Run 1+2 Comb.	$0.04 \pm 0.04$	0.107	$0.077^{+0.030}_{-0.022}$





# Поддержка детектора NSW мюонной системы детектора АТЛАС



- ПИЯФ принимает участие в поддержке мюонной системы детектора АТЛАС.
- В рамках модернизации детектора АТЛАС во время LS2 была произведена замена малых мюонных дисков на новые NSW, основными компонентами которых являются тонко-зазорные камеры sTGC и микро-мегас ММ.
- NSW используются в мюонном триггере первого уровня L1 и при реконструкции треков мюонов

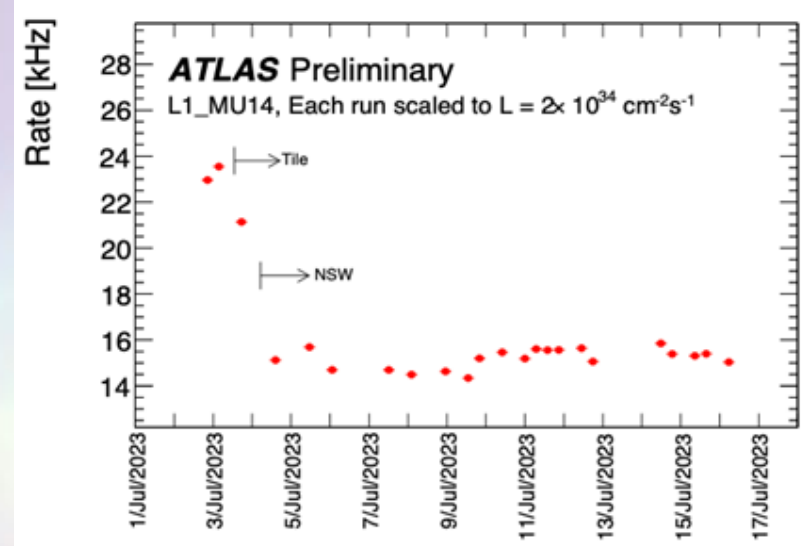
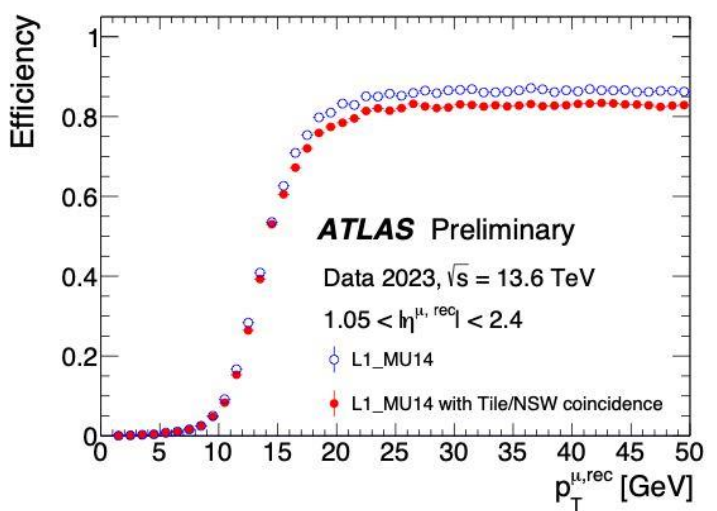
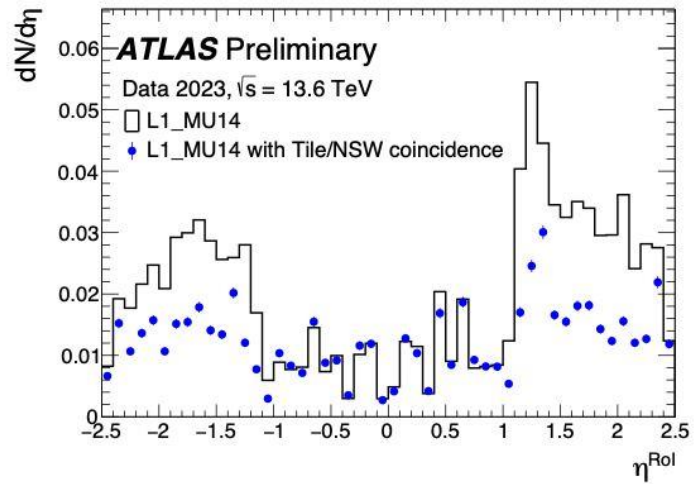


# NSW commissioning & performance

- После успешной интеграции детекторов NSW в 2022 году, сотрудники НИЦ КИ - ПИЯФ продолжили работу по обслуживанию всех систем NSW детектора, а также в подготовке программного обеспечения необходимого для успешной эксплуатации NSW детектора.
- С начала сеанса Run III, NSW были включены в сбор данных в ATLAS. Для обеспечения работоспособности детектора сотрудники НИЦ КИ - ПИЯФ принимают участие в сменах STG Primary On-call Expert.
- Сотрудники НИЦ КИ - ПИЯФ смогли сохранить количество работающих высоковольтных каналов на высоком уровне (~95%), а также обеспечить высокую эффективность всей системы в целом в течение сбора данных детектором ATLAS.
- В настоящее время полная цепочка триггера успешно интегрирована в триггер первого уровня (L1), что позволило снизить частоту ложных срабатываний и увеличить эффективность триггера в торцевых областях детектора.



# NSW trigger efficiency



(b)

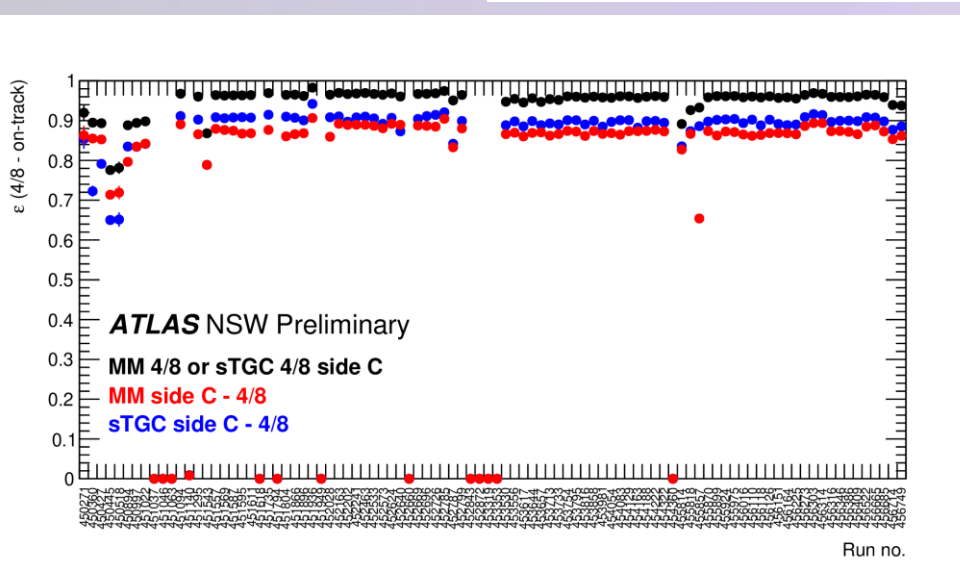
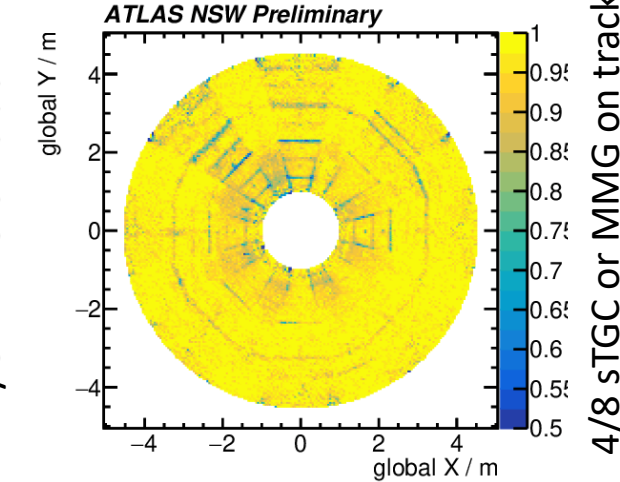
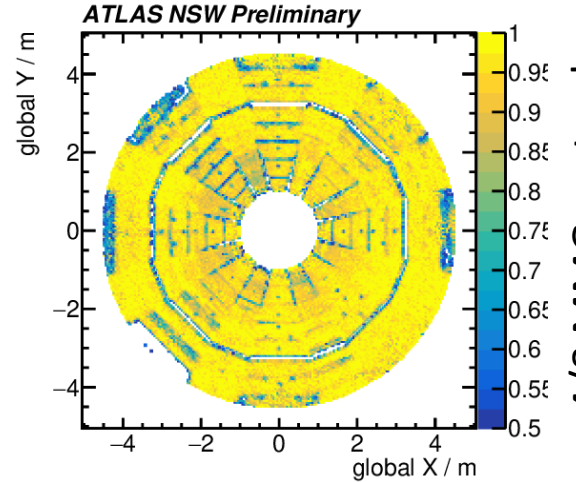
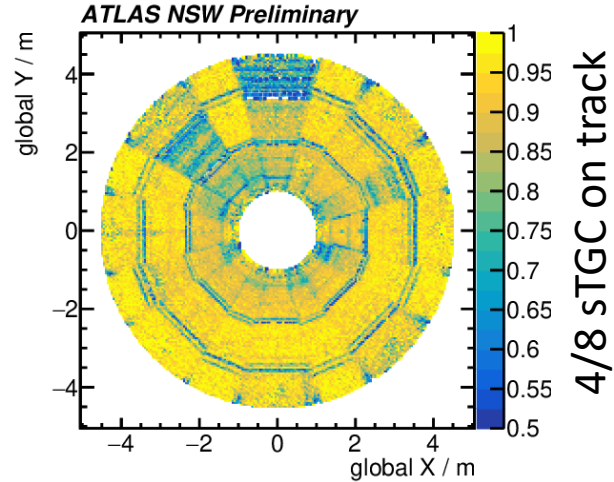
- Распределение количества треков по псевдобыстроте ( $\eta$ ) в зонах интереса (ROI), которые соответствуют триггеру первого уровня (L1) с пороговым значением поперечного импульса 14 ГэВ до и после включения в схему совпадений адронного калориметра Tile и NSW. Для совпадений используются только данные с sTGC-Pad.

Средняя эффективность каждого слоя MicroMegas/sTGC составляет примерно 65 - 80% в зависимости от области где она расположена и постоянна во времени.

- Частота срабатывания триггера L1 с пороговым значением поперечного импульса 14 ГэВ (L1 MU14), нормированный на светимость ускорителя  $2 \times 10^{34} \text{ см}^{-2}\text{s}^{-1}$ , в зависимости от времени в 2023 году.



# NSW efficiency



Efficiency for having at least four out of eight layers of Micromegas (red), sTGC strips (blue), or of either of the two (black) d to a muon track with  $pT > 15 \text{ GeV}$  passing through the NSW on the A side for all physics runs taken in 2023 with  $\sqrt{s} = 13.6 \text{ TeV}$ .

# По результатам работы в 2022 г. :

- Опубликовано:

внутренних препринтов	1
статьей	3
- доклады на конференциях 6

# Публикации по результатам работы в 2023 г.

- 1. G. Aad, ..., A. Ezhilov, O. Fedin, M. Levchenko, V. Maleev, Yu. Naryshkin, Y. Ryabov, V. Schegelsky, et.al., ATLAS Collaboration, "Combination of searches for invisible decays of the Higgs boson using 139 fb<sup>-1</sup> of proton-proton collision data at  $\sqrt{s}=13$  TeV collected with the ATLAS experiment", Phys.Lett.B 842 (2023) 137963.
- 2. G. Aad, ..., A. Ezhilov, O. Fedin, M. Levchenko, V. Maleev, Yu. Naryshkin, Y. Ryabov, V. Schegelsky, et.al., ATLAS Collaboration, "Observation of quantum entanglement in top-quark pair production", ATLAS-CONF-2023-069, submitted to Nature
- 3. G. Aad, ..., A. Ezhilov, O. Fedin, M. Levchenko, V. Maleev, Yu. Naryshkin, Y. Ryabov, V. Schegelsky, et.al., ATLAS Collaboration, "Search for magnetic monopoles and stable particles with high electric charges in  $\sqrt{s}=13$  TeV proton-proton collisions with the ATLAS detector", CERN-EP-2023-150, JHEP 11 (2023) 112

# Выступления на конференциях в 2023 г.

- Всероссийская конференция «Неделя науки ФизМех», Санкт-Петербургский политехнический университет Петра Великого (СПбПУ), Санкт-Петербург, Россия, 3 - 7 апреля 2023, «Статистическая комбинация поисков невидимых распадов бозона Хиггса в эксперименте ATLAS», М.В. Покидова , Я.А. Бердников , Ю.Г. Нарышкин.
- X Всероссийский с международным участием молодежный научный форум «Open Science 2023», НИЦ «Курчатовский институт» - ПИЯФ Гатчина, Россия, 15 - 17 ноября 2023, «Результаты поисков распадов Бозона Хиггса на частицы Темной Материи в эксперименте ATLAS», Покидова М.В., Бердников Я.А. Нарышкин Ю.Г
- Всероссийская конференция «Неделя науки ФизМех», Санкт-Петербургский политехнический университет Петра Великого (СПбПУ), Санкт-Петербург, Россия, 4 - 9 апреля 2022, «Поиск частиц Темной Материи в канале mono-Z в эксперименте ATLAS», М.В. Покидова.
- Всероссийская конференция «Неделя науки ФизМех», Санкт-Петербургский политехнический университет Петра Великого (СПбПУ), Санкт-Петербург, Россия, 4 - 9 апреля 2022, «Измерение спиновых корреляций в процессе рождения пар  $t$ -кварк- $\bar{t}$ -антикварк в эксперименте ATLAS», О.В. Посева.
- ATLAS DCS Operation meeting, CERN, Switzerland, 10 March 2023, "Changes in LHC main panel and underlying DDC/OLC changes", S.Khomutnikov, S.Schlenker.
- ATLAS DCS Operation meeting, CERN, Switzerland, 29 July 2023, "Tool of Consistency Inspection of COOL Folder Definition", S.Khomutnikov.

# BACKUP



# H $\rightarrow$ inv combinations

- Model "Higgs Portal"
- Limits for H $\rightarrow$ inv BR obtained with different Higgs production channels
- The purpose of the channel combination is to improve the sensitivity (upper limit)

\* VBF+MET

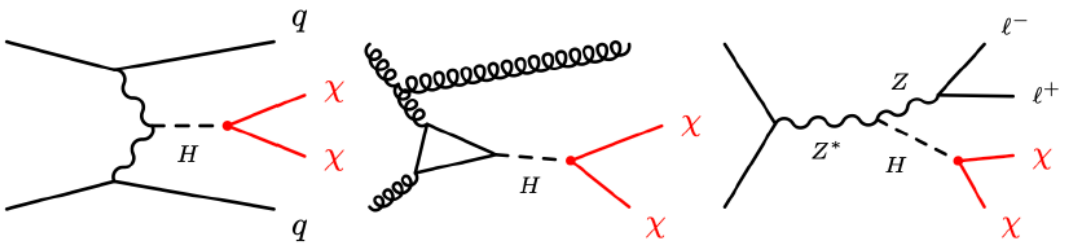
\* MET+Z(l)

\* tt+MET

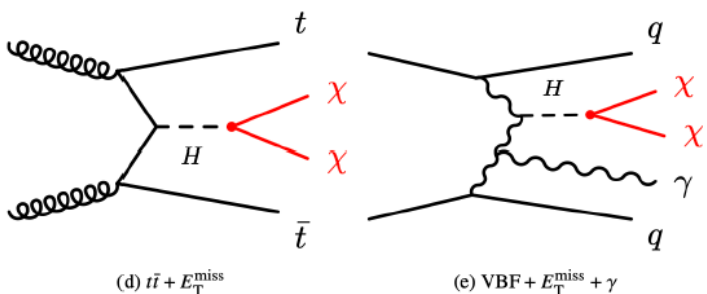
\* VBF+MET+ $\gamma$

\* monojet

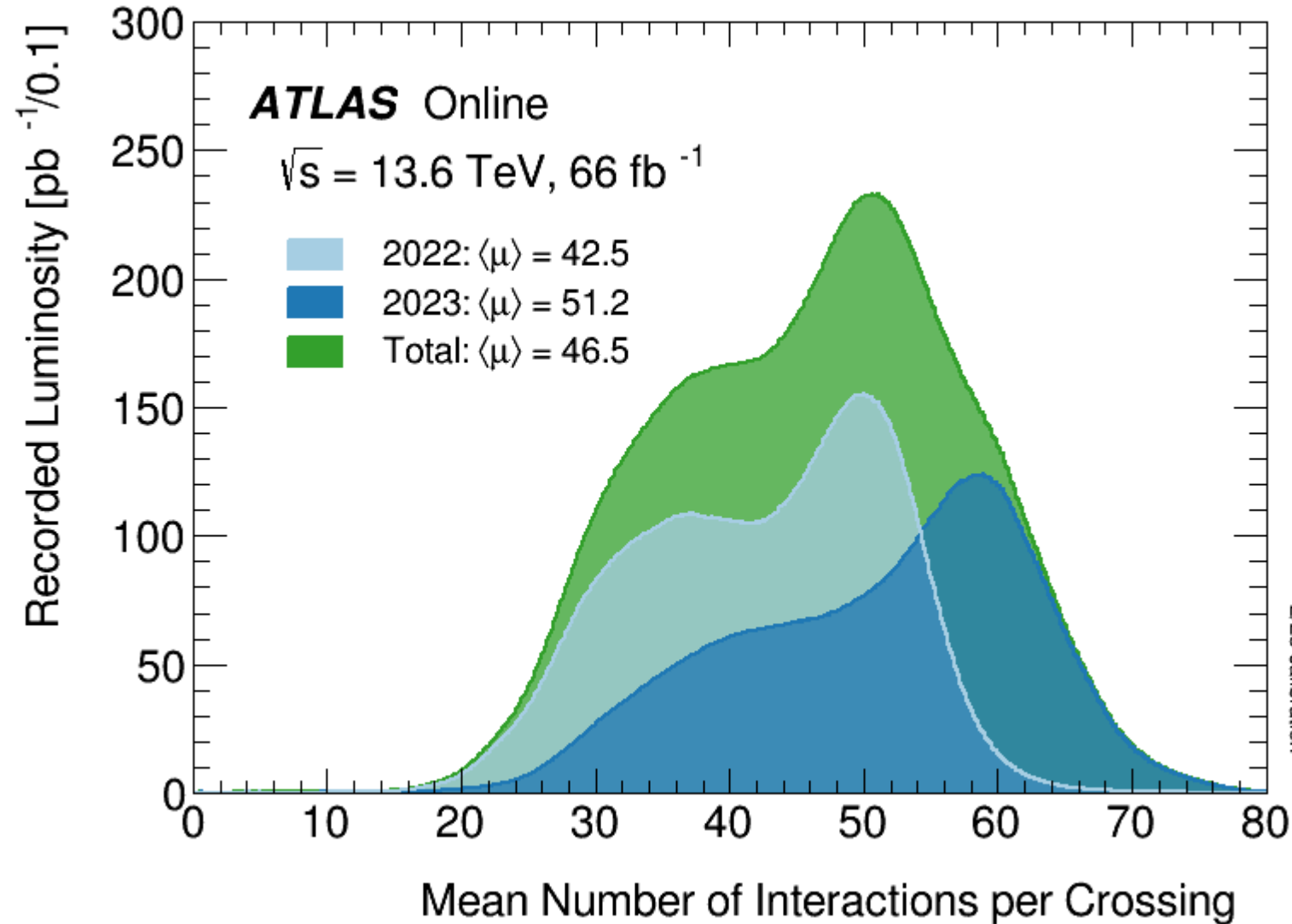
\* Run-1



?????



# Pileup2022-2023





# NSW trigger efficiency

- Для подавления фоновых частиц накладывается дополнительный отбор по поперечному импульсу  $p_T > 15$  ГэВ.
- Средняя эффективность каждого слоя MicroMegas/sTGC составляет примерно 65 - 80% в зависимости от области где она расположена и постоянна во времени.

